

Starkniederschlagshöhen und -spenden gemäß KOSTRA-DWD-2020

Rasterfeld 126192

(Zeile 126, Spalte 192)

Regenspende und Bemessungsniederschlagswerte in Abhängigkeit von Wiederkehrzeit T und Dauerstufe D

| Dauerstufe D | | Wiederkehrzeit T | | | | | | | | | | | | | | | | | |
|--------------|-----|------------------|------------|------|------------|------|------------|------|------------|------|------------|-------|------------|-------|------------|-------|------------|-------|------------|
| | | 1 a | | 2 a | | 3 a | | 5 a | | 10 a | | 20 a | | 30 a | | 50 a | | 100 a | |
| min | Std | mm | l / (s ha) | mm | l / (s ha) | mm | l / (s ha) | mm | l / (s ha) | mm | l / (s ha) | mm | l / (s ha) | mm | l / (s ha) | mm | l / (s ha) | mm | l / (s ha) |
| 5 | | 7,6 | 253,3 | 9,7 | 323,3 | 10,9 | 363,3 | 12,6 | 420,0 | 15,0 | 500,0 | 17,4 | 580,0 | 19,0 | 633,3 | 21,2 | 706,7 | 24,2 | 806,7 |
| 10 | | 9,8 | 163,3 | 12,4 | 206,7 | 14,1 | 235,0 | 16,2 | 270,0 | 19,3 | 321,7 | 22,4 | 373,3 | 24,5 | 408,3 | 27,2 | 453,3 | 31,1 | 518,3 |
| 15 | | 11,1 | 123,3 | 14,1 | 156,7 | 15,9 | 176,7 | 18,3 | 203,3 | 21,8 | 242,2 | 25,4 | 282,2 | 27,7 | 307,8 | 30,8 | 342,2 | 35,2 | 391,1 |
| 20 | | 12,0 | 100,0 | 15,2 | 126,7 | 17,2 | 143,3 | 19,8 | 165,0 | 23,6 | 196,7 | 27,5 | 229,2 | 30,0 | 250,0 | 33,3 | 277,5 | 38,1 | 317,5 |
| 30 | | 13,3 | 73,9 | 16,9 | 93,9 | 19,1 | 106,1 | 22,0 | 122,2 | 26,2 | 145,6 | 30,5 | 169,4 | 33,3 | 185,0 | 37,0 | 205,6 | 42,3 | 235,0 |
| 45 | | 14,7 | 54,4 | 18,6 | 68,9 | 21,1 | 78,1 | 24,3 | 90,0 | 28,9 | 107,0 | 33,6 | 124,4 | 36,7 | 135,9 | 40,8 | 151,1 | 46,7 | 173,0 |
| 60 | 1 | 15,7 | 43,6 | 19,9 | 55,3 | 22,5 | 62,5 | 25,9 | 71,9 | 30,9 | 85,8 | 35,9 | 99,7 | 39,3 | 109,2 | 43,6 | 121,1 | 49,8 | 138,3 |
| 90 | 1,5 | 17,2 | 31,9 | 21,8 | 40,4 | 24,6 | 45,6 | 28,4 | 52,6 | 33,8 | 62,6 | 39,3 | 72,8 | 43,0 | 79,6 | 47,7 | 88,3 | 54,6 | 101,1 |
| 120 | 2 | 18,3 | 25,4 | 23,2 | 32,2 | 26,2 | 36,4 | 30,2 | 41,9 | 36,0 | 50,0 | 41,9 | 58,2 | 45,7 | 63,5 | 50,8 | 70,6 | 58,1 | 80,7 |
| 180 | 3 | 20,0 | 18,5 | 25,3 | 23,4 | 28,6 | 26,5 | 33,0 | 30,6 | 39,2 | 36,3 | 45,7 | 42,3 | 49,9 | 46,2 | 55,4 | 51,3 | 63,3 | 58,6 |
| 240 | 4 | 21,2 | 14,7 | 26,9 | 18,7 | 30,4 | 21,1 | 35,0 | 24,3 | 41,7 | 29,0 | 48,5 | 33,7 | 53,0 | 36,8 | 58,9 | 40,9 | 67,3 | 46,7 |
| 360 | 6 | 23,1 | 10,7 | 29,3 | 13,6 | 33,1 | 15,3 | 38,1 | 17,6 | 45,3 | 21,0 | 52,8 | 24,4 | 57,7 | 26,7 | 64,1 | 29,7 | 73,3 | 33,9 |
| 540 | 9 | 25,1 | 7,7 | 31,8 | 9,8 | 36,0 | 11,1 | 41,5 | 12,8 | 49,3 | 15,2 | 57,4 | 17,7 | 62,7 | 19,4 | 69,7 | 21,5 | 79,7 | 24,6 |
| 720 | 12 | 26,7 | 6,2 | 33,8 | 7,8 | 38,2 | 8,8 | 44,0 | 10,2 | 52,3 | 12,1 | 60,9 | 14,1 | 66,6 | 15,4 | 74,0 | 17,1 | 84,6 | 19,6 |
| 1080 | 18 | 29,0 | 4,5 | 36,7 | 5,7 | 41,5 | 6,4 | 47,8 | 7,4 | 56,9 | 8,8 | 66,3 | 10,2 | 72,4 | 11,2 | 80,4 | 12,4 | 91,9 | 14,2 |
| 1440 | 24 | 30,7 | 3,6 | 39,0 | 4,5 | 44,1 | 5,1 | 50,7 | 5,9 | 60,4 | 7,0 | 70,3 | 8,1 | 76,8 | 8,9 | 85,3 | 9,9 | 97,5 | 11,3 |
| 2880 | 48 | 35,4 | 2,0 | 44,9 | 2,6 | 50,8 | 2,9 | 58,5 | 3,4 | 69,6 | 4,0 | 81,0 | 4,7 | 88,5 | 5,1 | 98,3 | 5,7 | 112,4 | 6,5 |
| 4320 | 72 | 38,5 | 1,5 | 48,8 | 1,9 | 55,2 | 2,1 | 63,5 | 2,4 | 75,6 | 2,9 | 88,0 | 3,4 | 96,2 | 3,7 | 106,8 | 4,1 | 122,1 | 4,7 |
| 5760 | 96 | 40,8 | 1,2 | 51,8 | 1,5 | 58,5 | 1,7 | 67,4 | 2,0 | 80,2 | 2,3 | 93,4 | 2,7 | 102,0 | 3,0 | 113,3 | 3,3 | 129,5 | 3,7 |
| 7200 | 120 | 42,7 | 1,0 | 54,2 | 1,3 | 61,2 | 1,4 | 70,5 | 1,6 | 83,9 | 1,9 | 97,7 | 2,3 | 106,8 | 2,5 | 118,6 | 2,7 | 135,6 | 3,1 |
| 8640 | 144 | 44,4 | 0,9 | 56,2 | 1,1 | 63,6 | 1,2 | 73,2 | 1,4 | 87,1 | 1,7 | 101,4 | 2,0 | 110,8 | 2,1 | 123,1 | 2,4 | 140,7 | 2,7 |
| 10080 | 168 | 45,8 | 0,8 | 58,0 | 1,0 | 65,6 | 1,1 | 75,6 | 1,3 | 89,9 | 1,5 | 104,7 | 1,7 | 114,4 | 1,9 | 127,0 | 2,1 | 145,2 | 2,4 |

Starkniederschlagshöhen und -spenden gemäß KOSTRA-DWD-2020

Rasterfeld 126192

(Zeile 126, Spalte 192)

Örtliche Unsicherheiten in Abhängigkeit von Wiederkehrzeit T und Dauerstufe D

| Dauerstufe D | | Wiederkehrzeit T | | | | | | | | |
|--------------|-----|------------------|-----|-----|-----|------|------|------|------|-------|
| | | 1 a | 2 a | 3 a | 5 a | 10 a | 20 a | 30 a | 50 a | 100 a |
| min | Std | ± % | ± % | ± % | ± % | ± % | ± % | ± % | ± % | ± % |
| 5 | | 12 | 11 | 11 | 12 | 12 | 12 | 13 | 13 | 13 |
| 10 | | 11 | 13 | 14 | 15 | 16 | 17 | 17 | 17 | 18 |
| 15 | | 13 | 15 | 16 | 17 | 18 | 19 | 20 | 20 | 21 |
| 20 | | 15 | 17 | 18 | 19 | 20 | 21 | 22 | 22 | 23 |
| 30 | | 16 | 18 | 20 | 21 | 22 | 23 | 23 | 24 | 25 |
| 45 | | 17 | 20 | 21 | 22 | 23 | 24 | 24 | 25 | 26 |
| 60 | 1 | 17 | 20 | 21 | 22 | 23 | 24 | 25 | 25 | 26 |
| 90 | 1,5 | 17 | 20 | 21 | 22 | 23 | 24 | 25 | 25 | 26 |
| 120 | 2 | 17 | 20 | 21 | 22 | 23 | 24 | 25 | 25 | 26 |
| 180 | 3 | 17 | 19 | 20 | 21 | 23 | 24 | 24 | 25 | 25 |
| 240 | 4 | 16 | 19 | 20 | 21 | 22 | 23 | 24 | 24 | 25 |
| 360 | 6 | 16 | 18 | 19 | 20 | 21 | 22 | 23 | 23 | 24 |
| 540 | 9 | 15 | 17 | 18 | 19 | 21 | 22 | 22 | 23 | 23 |
| 720 | 12 | 15 | 17 | 18 | 19 | 20 | 21 | 22 | 22 | 23 |
| 1080 | 18 | 15 | 17 | 18 | 19 | 20 | 20 | 21 | 21 | 22 |
| 1440 | 24 | 15 | 16 | 17 | 18 | 19 | 20 | 21 | 21 | 22 |
| 2880 | 48 | 15 | 16 | 17 | 18 | 19 | 20 | 20 | 20 | 21 |
| 4320 | 72 | 16 | 17 | 17 | 18 | 19 | 20 | 20 | 20 | 21 |
| 5760 | 96 | 16 | 17 | 18 | 18 | 19 | 20 | 20 | 20 | 21 |
| 7200 | 120 | 17 | 18 | 18 | 19 | 19 | 20 | 20 | 21 | 21 |
| 8640 | 144 | 17 | 18 | 19 | 19 | 20 | 20 | 20 | 21 | 21 |
| 10080 | 168 | 18 | 18 | 19 | 19 | 20 | 20 | 21 | 21 | 21 |

Parameter für abweichende T und D

Lokationsparameter ξ (Xi)

16,09571846

Skalenparameter α (Alpha)

5,97584284

Formparameter κ (Kappa)

-0,1

1. Koutsoyiannis-Parameter θ (Theta)

0,02915227

2. Koutsoyiannis-Parameter η (Eta)

0,79576736

Parameter für dauerstufenübergreifende Extremwertschätzung nach KOUTSOYIANNIS et al. 1998.

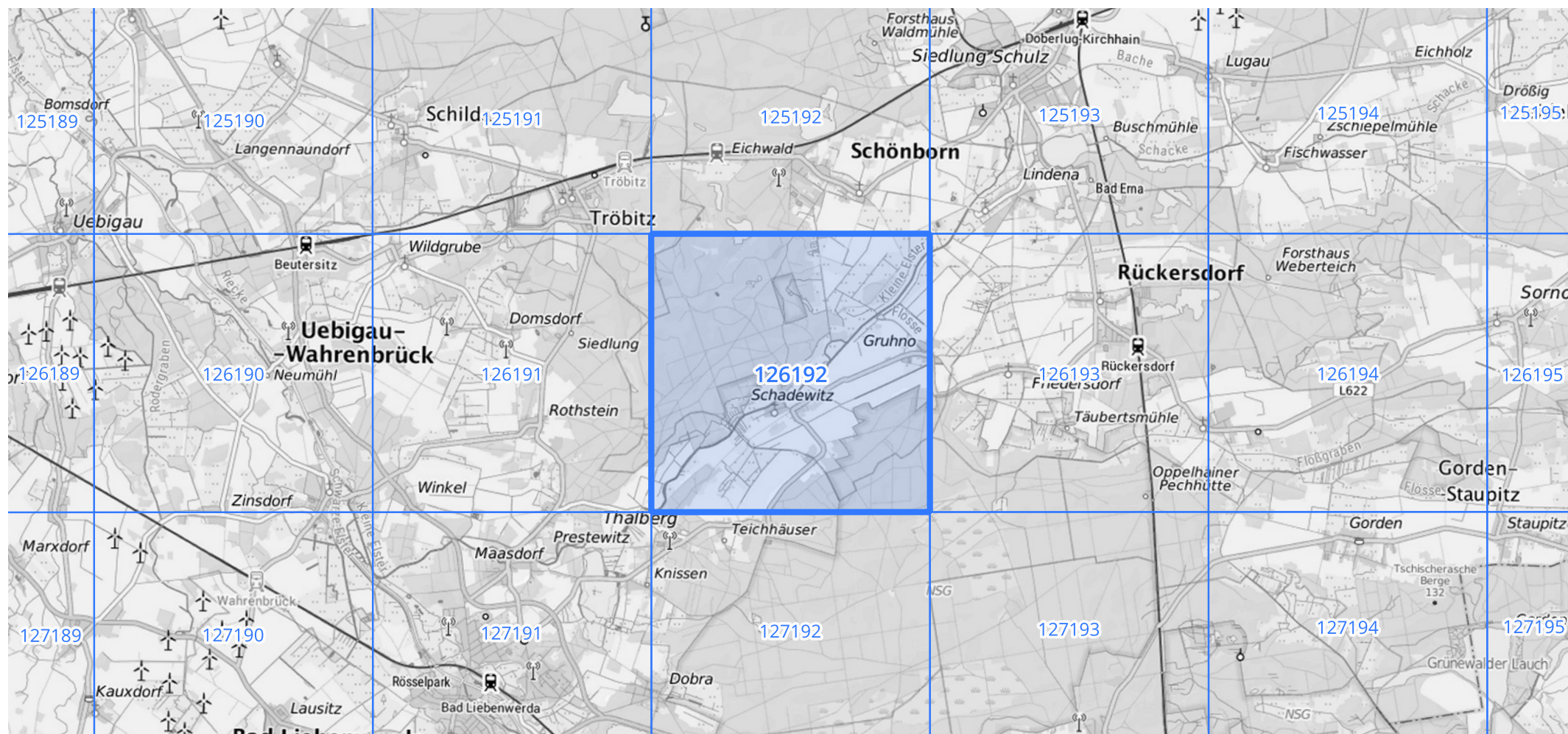
Siehe auch Anwendungshilfe zu KOSTRA-DWD-2020 des Deutschen Wetterdienstes.

Starkniederschlagshöhen und -spenden gemäß KOSTRA-DWD-2020

Rasterfeld 126192

(Zeile 126, Spalte 192)

Übersichtskarte des Rasterfeldes 126192, M 1 : 100 000



Quelle Rasterdaten: KOSTRA-DWD-2020 des Deutschen Wetterdienstes, Stand 12/2022.

Seite 3 von 3

Kartendarstellung: © Bundesamt für Kartographie und Geodäsie (2023), Datenquellen: https://sgx.geodatenzentrum.de/web_public/gdz/datenquellen/Datenquellen_TopPlusOpen.html

Für die Richtigkeit und Aktualität der Angaben wird keine Gewähr übernommen. Erstellt 01/2023.